

# ORIGINAL ARTICLE

## ***Inhibitory Effects of Novel 3-Hydroxy-4-Pyridinones with Iron Chelating Activity against Production of HIV Virions***

Sogol Asaadi Dalaei<sup>1</sup>,  
Rezvan Zabihollahi<sup>2</sup>,  
Seyed Mahdi Sadat<sup>2</sup>,  
Seyed Davar Siadat<sup>2</sup>,  
Nour Amirmozafari<sup>3</sup>,  
Azar Farhang Esfahani<sup>4,5</sup>,  
Sohila Hekmat<sup>2</sup>,  
Mohammad Reza Aghasadeghi<sup>2</sup>

<sup>1</sup> M.Sc. Student in Microbiology, Faculty of Basic Sciences, Islamic Azad University, Lahijan branch, Lahijan, Iran  
<sup>2</sup> Pasteur Institute of Iran, Tehran, Iran

<sup>3</sup> Department of Microbiology, Faculty of Medicine, Tehran University of Medicine, Tehran, Iran

<sup>4</sup> MSc Student in Microbiology, Islamic Azad University, Falavarjan Branch, Iran

<sup>5</sup> Young Researchers Club, Tehran, Iran

(Received November 19, 2011 ; Accepted December 23, 2012)

### **Abstract**

**Background and purpose:** The need to find new antiviral compounds is increasing due to the emergence of resistant strains and toxicity of currently available HIV drugs. In this research the inhibitory activity of a number of novel iron chelating compounds derived from 3-Hydroxy-4-pyridinosnes was studied.

**Materials and methods:** Single cycle replicable (SCR) virion was produced by transfection of HEK293T cells with pmzNL4-3, pSPAX2 and pMD2G plasmids. HEK cells were infected with SCR virus and the production of new virions was evaluated by p24 ELISA. Also, cytotoxicity of these compounds was investigated by XTT method and then the effect of compounds on viral infection was examined by GFP-expressing virions.

**Results:** PhH, PhHB, DNB, TsB, AbphE and Adlb compounds had the ability of inhibition of virus production insofar as PhH, PhHB, DNB, TsB, AbphE and Adlb inhibited the viral production with IC<sub>50</sub> of 63, 43, 10, 73, 12 and 78 μM, respectively. DNB and AbphE showed high toxicity for target cells (CC<sub>50</sub> of 113 and 112 μM). Similar activity was found in single round infection assay compared to the results of replication study.

**Conclusion:** This study found derivatives of 3-Hydroxy-4-pyridinosnes effective in preventing the HIV virus. Compounds with high anti-viral potential and low cytotoxicity are promising candidate for more anti-viral studies.

**Keywords:** HIV, chelated iron compound, anti HIV drugs, proliferation, replication

## توانایی بازدارندگی تولید ویریون های HIV توسط ترکیبات جاذب آهن مشتق 3-Hydroxy-4-pyridinones

سوگل اسعدی دلائی<sup>۱</sup>  
رضوان ذبیح الهی<sup>۲</sup>  
سید مهدی سادات<sup>۲</sup>  
سید داور سیادت<sup>۲</sup>  
نور امیر مظفری<sup>۳</sup>  
آذر فرهنگ اصفهانی<sup>۳</sup>  
سهیلا حکمت<sup>۲</sup>  
محمد رضا آقا صادقی<sup>۲</sup>

### چکیده

**سابقه و هدف:** ایجاد مقاومت های دارویی روز افزون و سمیت داروهای موجود ضد HIV علاوه برای انجام پژوهش با هدف یافتن ترکیبات جدید ضد ویروس را افزایش داده است. در این مطالعه چندین ترکیب جاذب آهن مشتق 3-Hydroxy-4-pyridinones با ساختاری کاملاً جدید از نظر توانایی بازدارندگی تولید ویریون های HIV بررسی شدند.

**مواد و روش ها:** در این مطالعه که به روش Experimental یا تجربی می باشد، ویریون (single cycle replicable) HIV SCR به وسیله ترانسفکت کردن سلول های HEK293T با پلاسمید های pMzNL4-3، pMD2G و pSPAX2 تولید شد. سلول های هدف HEK با ویروس SCR آلوه شده و میزان ۲۴pMای روبی سلول با سنجش Elisa (Elisa) اندازه گیری شد. همچنین سمیت سلولی این ترکیبات به وسیله روش XTT بررسی شد. در ادامه اثر ضد HIV ترکیبات برای بازداری چرخه عفونت به وسیله ویریون های ییان کننده GFP بررسی شد.

**یافته ها:** ترکیبات PhH، DNB، PhHB، ADB، ABphE، TsB، DNB، ABphE و ADB توانایی بازداری تولید ویروس را با IC<sub>50</sub> به ترتیب ۶۳، ۶۳، ۱۰، ۱۲، ۷۳ و ۷۸ میکرومول داشته اند. از میان این ترکیبات DNB و ABphE سمیت سلولی بسیار بالایی با حدود ۱۱۳ و ۱۱۲ میکرومول نشان داده اند. نتایج به دست آمده از تست بررسی عفونت زایی یک دوره ای (Single round infection assay) مشابه با نتایج به دست آمده از بررسی میزان همانندسازی بوده است.

**استنتاج:** در این مطالعه نشان داده شده است که مشتقان 3-Hydroxy-4-pyridinones قادر به بازداری همانندسازی ویروس HIV به شکلی کاملاً مؤثر بوده اند. ترکیبات با توانایی ضد ویروسی بالا و سمیت سلولی پایین کاندید مناسبی برای بررسی های بیشتر ضد ویروسی می باشند.

**واژه های کلیدی:** ویروس نقص سیستم ایمنی انسان، ترکیبات جاذب آهن، داروهای ضد HIV، پرولیفراسیون، همانندسازی

### مقدمه

ویروس نقص ایمنی انسان (HIV) یک RNA ویروس و از گروه رتروویروس ها می باشد که DNA پرورویروسی

E-mail: mrasadeghi@pasteur.ac.ir

مولف مسئول: محمد رضا آقادادقی - تهران: استیتو پاستور ایران، گروه هایت و ایدز

۱. گروه میکروبیولوژی، دانشکده علوم پایه، دانشگاه آزاد واحد لاهیجان، لاهیجان، ایران

۲. استیتو پاستور ایران، تهران، ایران

۳. گروه میکروبیولوژی، دانشکده پزشکی، دانشگاه علوم پزشکی تهران، تهران، ایران

۴. دانشجوی کارشناس ارشد میکروبیولوژی، عضو باشگاه پژوهشگران جوان، دانشگاه آزاد اسلامی واحد فلاورجان، فلاورجان، ایران

تاریخ دریافت: ۱۳۹۰/۸/۲۸ تاریخ ارجاع جهت اصلاحات: ۱۳۹۰/۱۲/۱۶ تاریخ تصویب: ۱۳۹۱/۱۰/۳

می دهند(۱۲). در مکانیسم اخیر همانندسازی ویروس HIV در سطح تولید RNA ویروسی مهار می شود. اگرچه مطالعات قبلی نشان دهنده پتانسیل مناسب ترکیبات جاذب آهن به عنوان مواد بازدارنده ویروس HIV بوده اند اما سمیت نسبتاً بالا و تأثیرگذاری محدود ترکیباتی که تا کنون مورد آزمایش قرار گرفته اند کاربرد بالینی را غیر ممکن کرده است(۱۲) در این مطالعه چندین ترکیب جدید جاذب آهن 3-Hydroxy-4-pyridinones همانندسازی HIV-1 برسی شده اند تا از میان آن ها ترکیبات با توان ضد ویروسی بالاتر و سمیت کمتر برای مطالعات تکمیلی آینده انتخاب گردد. آزمایشات ویروس شناسی این مطالعه به وسیله ویروس HIV با قابلیت یک سیکل همانندسازی (SCR) انجام شده است. این ویروس ها توانایی تکثیر برای یک سیکل را دارند و پس از آن غیر فعال می شوند(۱۳،۱۴).

## مواد و روش ها

### کشت سلول و ترانسفکشن

در این مطالعه سلول های ایمنی نوع HEK293T و MT-2 در محیط های کشت RPMI1640 و DMEM به همراه ۱۵ درصد FBS, L-Glutamine, استرپتومایسین کشت داده شدند(۱۵). در مرحله ترانسفکشن به محیط سلول های HEPK، HEPES اضافه شدند. سلول ها در انکوباتور CO<sub>2</sub> تحت فشار درصد CO<sub>2</sub> و دمای ۳۷°C نگهداری شدند. ترانسفکشن توسط لیوفکت (Qiagene) و طبق روش پیشنهادی تولید کننده در پلیت های ۶ چاهکی انجام گردید، در مرحله ترانسفکشن، HEPES به میزان ۲۵mM به محیط سلول ها اضافه شد. سوپ های حاوی ویروس در ساعت های ۲۴، ۴۸ و ۷۲ جمع آوری و محیط تازه به سلول ها اضافه شد. سوپ های حاوی ویروس با هم مخلوط و پس از فیلتراسیون با فیلتر ۰/۴۵ μm، در دمای ۷۰°C-نگهداری شد(۱۶).

رونوشت برداری و سپس پروویروس را با استفاده از آنزیم اینتگراز (Integrase) به DNA میزبان وارد می کند. ابتلاء به HIV باعث ایجاد سندروم نقص ایمنی اکتسابی (AIDS) می شود. ایدز یک بیماری عفونی مزمن، با کاهش پیشرونده تعداد سلول های ایمنی T CD4 می باشد. سلول های CD4 میزبان اصلی ویروس بوده و با کاهش پیشرونده ذخیره این سلول ها، عفونت های فرست طلب و تومورها منجر به مرگ میزبان می گردد(۲،۱). به دلیل بار اقتصادی و بهداشتی سنگینی که HIV به نظام سلامت جهانی وارد کرده است، پژوهش روی این ویروس در تمامی ابعاد ادامه دارد. از آن جایی که داروهای ضد ویروسی بهترین راه درمان بیماری ایدز می باشند. مطالعه در زمینه داروهای بازدارنده ویروس HIV از اهمیت بالایی برخوردار است. سمیت داروهای موجود و تشکیل سوosh های مقاوم به آن ها اهمیت پژوهش برای یافتن و تولید داروهای ضد ویروسی جدید و مؤثر تر بر روی HIV را بیش تر کرده است(۴،۳). یکی از این استراتژی ها، یافتن ترکیباتی با توان بازدارندگی همانندسازی ویروس، از طریق مهار مسیرهای سلولی مورد استفاده ویروس می باشد(۷-۵). مولکول های جاذب آهن قادر به ایجاد اختلال در برخی مسیرهای سلولی اند و به عنوان داروهای بازدارنده HIV مطرح می باشند(۸-۱۰). مطالعات گذشته نشان داده اند که مولکول های جاذب آهن می توانند روند همانندسازی ویروس HIV را از طریق چندین مسیر از جمله غیرفال سازی آنزیم ریبونوکلئوتید ردوکتاز که وابسته به آهن است(۹-۱۱)، کاهش فعالیت فاکتور NFκB، کاهش پرولیفراسیون سلولی و در نتیجه افزایش آپوتوزیس مختل نمایند(۱۱-۹). همچنین در مطالعات اخیر نشان داده شده است که داروهای کلینیکی جاذب آهن د弗پیرون و سیکلوپیروکس توانایی بازدارندگی همانندسازی ویروس HIV را دارند و این عمل را با مختل کردن بلوغ فاکتور شروع یوکاریوتی 5A (eIF5A) انجام

فقط برای مشخص شدن صحت انجام تست می‌باشد و تأثیری در آنالیزهای آماری ندارد. تمامی آزمایشات به صورت تکرار سه‌تایی انجام شد. سمیت ترکیبات بر روی سلول‌های HEK به طور جداگانه بررسی شد، براساس این بررسی  $50\text{ cc}_{50}$  (Cytotoxicity capacity) محاسبه شد.  $\text{CC}_{50}$  در واقع غلظتی از ترکیب را نشان می‌دهد که برای سلول‌های هدف  $50\%$  درصد سمیت داشته است. همچنین در این مطالعه  $\text{IC}_{50}$  (inhibitory capacity $50\%$ ) به دست آمد (درصد اثر مهاری روی ویروس داشته است. نیز  $50\text{ IC}_{50}$  بر  $\text{CC}_{50}$  تقسیم شاخص SI(Selectivity Index) و یا TI(therapeutic index) به دست آمد ( $\text{TI} = \text{CC}_{50}/\text{IC}_{50}$ ). شاخص TI یا SI اثر ضد ویروسی ترکیبات مختلف را بررسی و با هم مقایسه می‌کند (۱۸-۲۰).

#### بررسی میزان همانند سازی HIV

برای بررسی میزان همانندسازی ویریون‌های SCR HIV سودوتایپ شده با VSVG از سلول‌های HEK استفاده گردید. تعداد  $10^4 \times 6$  سلول مورد نظر در هر چاهک از پلیت ۲۴ خانه‌ای حاوی  $1\text{ ml}$  محیط کشت قرار داده شد. به هر چاهک p24 ویریون SCR HIV اضافه و پس از ۵ ساعت سلول‌ها دوبار RPMI درون چاهک به وسیله FBS $10\%$  DMEM و یا شستشو داده شد (۲۱، ۲۲). ۷۲ ساعت پس از آلودگی سوب سلول‌ها جمع‌آوری و میزان p24 سوب سلولی به وسیله ELISA capture (BIORAD) طبق دستورات شرکت سازنده سنجیده شد.

#### بررسی عفونت زایی یک دوره‌ای: single round (infection assay)

برای بررسی اثر ضد ویروسی ترکیبات برای مهار چرخه عفونت‌زایی ویروس HIV از تست بررسی عفونت زایی یک دوره‌ای استفاده شد. برای انجام این

#### تولید ویروس

در این مطالعه از ویریون‌های HIV با قابلیت یک سیکل همانند سازی (SCR) برای بررسی میزان تولید ویروس استفاده شده است (۱۳، ۱۴). برای تولید VSVG ویریون‌های HIV SCR سودوتایپ شده با HEK293T با نسبت‌های مشخص، همزمان به سلول‌های HEK293T ترانسفکت شدند. برای سنتز ویریون‌های HIV بیان کننده p7HXP و pWPXL، pSPAX2 و pMD2.G با pSPAX2.2 پلاسمیدهای GFP از پلاسمیدهای استفاده شد. بخشی از ویروس تولید شده به وسیله سانتریفیوژ با دور بالا تغییض شد. برای تغییض ویروس‌ها، سوب حاوی ویروس فیلتر و برای ۲ ساعت با نیروی  $60\text{ g} \times 10^3$  در دمای  $40^\circ\text{C}$  سانتریفیوژ شد. پس از اتمام سانتریفیوژ سوب روی رسوب ویروسی برداشته و این رسوب در RPMI با نسبت ۱ml به ۳۰ml رسوب اولیه gentle vortex قرار داده شد. پلت ویروس‌ها در RPMI توسط p24 ELISA capture ویروس تخلیص شده توسط طبق پروتوكل کیت بررسی شدند.

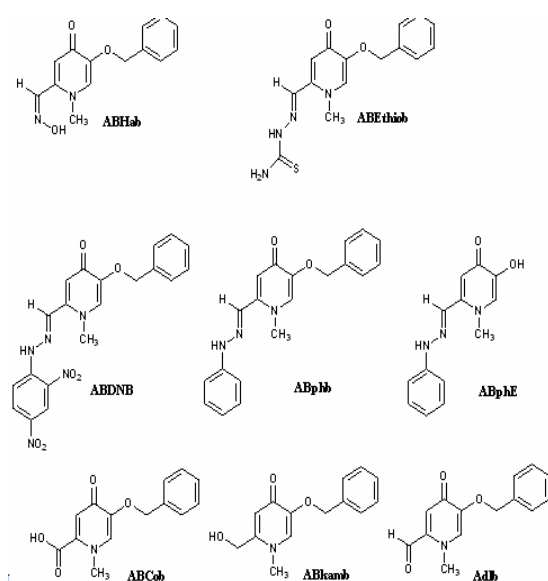
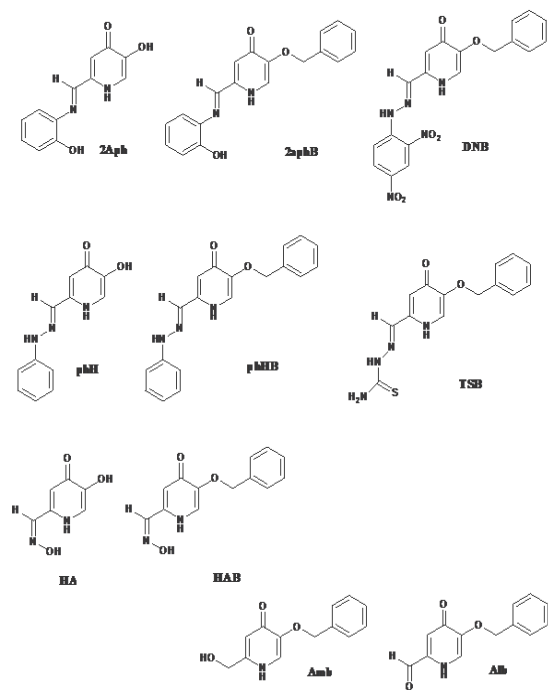
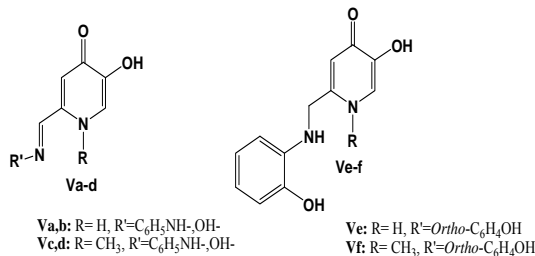
#### ترکیبات و طراحی آزمایش‌ها

تمام ترکیبات مشتقات مختلف ۴-Hydroxy-4-pyridinones می‌باشند (تصویر شماره ۱). و برای انجام تست با غلظت‌های مختلف  $10\text{ }\mu\text{M}$  تا  $10\text{ mM}$  در Dimethyl sulfoxide DMSO حل شدند. ترکیبات با نسبت ۱ به ۱۰۰ از ذخیره اصلی به محیط‌های آزمایش اضافه شدند به نحوی که غلظت نهایی  $100\text{ }\mu\text{M}$  تا  $100\text{ nM}$  رسانده شد. غلظت ترکیبات در محیط آزمایش از شروع آلودگی تا پایان آزمایش ثابت نگه داشته شد. نویرابین (NVP) محلول در DMSO با غلظت نهایی  $50\text{ }\mu\text{M}$  که از داروهای ضد ویروس در دسترس کلینیکال به عنوان کترول مثبت بازدارنده‌گی ویروس و DMSO با غلظت نهایی ۱ درصد به عنوان کترول منفی استفاده شد. لازم به ذکر است که کترول مثبت در این مطالعه

تست از ویریون های HIV بیان کننده GFP و سلول های MT-2 استفاده گردید. سلول های MT-2 به تعداد ۲۰ هزار در هر چاهک از پلیت ۹۶ خانه ای قرار داده شدند و توسط ۴۰۰ نانو گرم ویروس HIV آلوده شدند. پس از ۲۴ ساعت سلول ها با ۲۰۰ میکرو لیتر محیط تازه تغذیه و برای مدت ۴۸ ساعت دیگر انکوبه شدند. تعداد سلول های بیان کننده GFP توسط سیستم فلوراسیون متری بررسی شدند (۲۲).

### سنجهش پرولیفراسیون

برای سنجهش میزان پرولیفراسیون سلول ها از متده استفاده شد (Roche) XTT (۲۳، ۲۴). آماده سازی محلول طبق دستورات تولید کننده انجام و به منظور کاهش خطای آزمایشگاهی برای سنجهش پرولیفراسیون از محیط بدون فنول رد استفاده گردید. پس از اضافه کردن ۱۱۱ میکرو لیتر محلول XTT به هر چاهک، سلول ها برای ۴ ساعت در انکوباتور  $CO_2$  گذاشته و پس از پیتاز کردن چاهک ها، OD ۴۵۰ nm محیط سلول ها با رفرنس ۶۳۰ nm به وسیله دستگاه ELISA Reader سنجیده شد.



تصویر شماره ۱: مشتقات ۳-Hydroxy-4-pyridinones و فرمول اصلی هر ترکیب

ترکیبات جاذب آهن در این بررسی جدید و از

مشتقات ۳-Hydroxy-4-pyridinones می باشد (تصویر شماره ۱). توانایی این مواد برای بازداری ویروس HIV به وسیله سنجهش میزان همانندسازی ویروس HIV در حضور غلظت های مختلف ترکیبات مورد آزمایش بررسی شد. نتایج بدست آمده از این مطالعه نشان داده است که ترکیبات جاذب آهن مورد بررسی در این مطالعه توانایی مناسبی برای مهار همانندسازی ویروس HIV داشته اند (جدول شماره ۱).

ABpHE ، TsB ، DNB ، PhHB ، ABCob و Adb توانایی مناسبی برای بازداری ویروس در

تست بررسی همانندسازی ویروسی کمی متفاوت بوده و تولید ویروین‌های جدید نیز در تست بررسی می‌شود. نتایج به دست آمده از بررسی عفونت زایی یک دوره‌ای تقریباً مشابه با نتایج بدست آمده از بررسی میزان همانندسازی بوده است. این نتایج در جدول شماره ۲ نشان داده شده است.

**جدول شماره ۲:** توان بازداری ترکیبات مورد آزمایش برای HIV infection

Compound	HIV-1 Infection inhibitory	
	IC <sub>25</sub> (μM)	IC <sub>50</sub> (μM)
2Aph	15	380
Amb	657	>1000
Alb	32	214
phHB	17	68
phH	11	34
DNB	3	16
HAB	342	>1000
HA	254	545
2aphB	15	>1000
TsB	14	54
ABHab	980	>1000
ABCob	54	>1000
ABDNB	34	>1000
Abphb	24	>1000
ABkmb	765	>1000
ABphE	2	11
ABEthiob	323	>1000
Adlb	13	72

## بحث

مطالعات گذشته نشان دهنده افزایش همانندسازی ویروس HIV در میان سلول‌های لنفوцит در حضور آهن اضافی بوده (۲۵) و در مقابل، توانایی ترکیبات جاذب آهن برای بازداری همانندسازی ویروس HIV به اثبات رسیده است (۲۰، ۱۱۸). پریدینون‌های جاذب آهن (3-Hydroxy-4-pyridinones [HPOs]) به عنوان کاندید جاذب آهن خوراکی مطرح می‌باشند و امروزه در کلینیک مورد استفاده قرار می‌گیرند (۲۶).

با توجه به نتایج مثبت و مؤثر حاصل از این ترکیبات در کنترل روند تکثیر ویروس این مطالعات همچنان بر روی ترکیبات جاذب آهن دیگر با ساختارهای جدید به عنوان کاندید دارویی برای مهار و کنترل همانندسازی ویروس HIV مورد توجه می‌باشد. از سوی دیگر در برخی از مطالعات، اثر ضد ویروسی

غلظت‌های پایین نشان دادند IC<sub>50</sub> به دست آمده برای این ترکیبات به ترتیب M μM، ۶۳، ۱۰، ۴۳، ۷۳، ۱۲ و ۷۸ بوده است. از میان این ترکیبات DNB و ABphE سمیت سلولی بسیار بالایی با CC<sub>50</sub> حدود ۱۱۳ μM و ۱۱۲ μM نشان داده‌اند. برخی از ترکیبات هیچ انرسمیتی نداشتند روى توانایي ضد HIV کمی برخوردارند. به عنوان مثال ABphb و ABDNB بدون اثر سمی ولی همانندسازی HIV را با ۹۶ μM IC<sub>25</sub> و ۱۱ μM IC<sub>50</sub> بازداری کرده‌اند.

این توانایی خفیف ضد ویروسی به دلیل عدم وجود سمیت سلولی با ارزش می‌باشد. همچنین برخی از ترکیبات از جمله HAB و ABHab در آزمایشات انجام شده توانایی بازداری و همچنین سمیت سلولی بسیار پایینی داشته‌اند.

**جدول شماره ۱:** توان ضد HIV ترکیبات جاذب آهن

Compound	Cellular toxicity	HIV-1 replication inhibitory	
	CC <sub>50</sub> (μM)	IC <sub>25</sub> (μM)	IC <sub>50</sub> (μM)
2Aph	321	8	230
Amb	>1000	975	>1000
Alb	876	54	276
phHB	545	11	43
phH	893	9	63
DNB	113	3	10
HAB	>1000	567	>1000
HA	>1000	233	683
2aphB	103	17	990
TsB	996	22	73
ABHab	>1000	816	>1000
ABCob	932	74	>1000
ABDNB	NT	96	>1000
Abphb	NT	11	>1000
ABkmb	NT	867	>1000
AbphE	112	3	12
ABEthiob	856	476	923
Adlb	873	21	78

توان ضد HIV ترکیبات مورد آزمایش در تست بررسی عفونت زایی یک دوره‌ای اطلاعات به دست آمده از این تست در راستای با بررسی همانندسازی ویروسی می‌باشد و جهت اطمینان بیش تراز اطلاعات به دست آمده انجام شده است. همچنین در تست بررسی عفونت زایی یک دوره‌ای اثر ضد ویروسی ترکیبات مورد آزمایش بر روی ورود ویروس HIV تا وارد سازی پروویروس به DNA میزبان بررسی و تولید ویروس بررسی نمی‌شود.

زایی یک دوره ای به طور همزمان مورد سنجش قرار گرفت که استفاده همزمان از دو روش فوق الذکر و مقایسه نتایج حاصل از این دو، علاوه بر این که باعث حصول اطمینان از نتایج گشت بیان کننده این مسئله می باشد که به دلیل تشابه نتایج در هر دو روش و این که اصول کلی دو روش با هم متفاوت هستند مهار همانندسازی به این صورت انجام می گردد که این ترکیبات با خارج از دسترس قرار دادن آهن برای ویروس مانع از ساخته شدن ویریون های جدید شده و منجر به کنترل و مهار همانند سازی ویروس از طریق تداخل در مسیرهای سلولی می گردد. این ترکیبات بر خلاف سایر داروهای موجود که خود ویروس را مورد حمله قرار می دهند با تأثیر بر شرایط سلولی محیط را برای تکثیر ویروس نا مناسب ساخته و اجازه تکثیر ویروس را نمی دهند. با توجه به این که مقاومت های دارویی در برابر داروهای موجود با مکانیسم حمله مستقیم به ویروس روز به روز در حال افزایش است می توان نتیجه گرفت استفاده از چنین ترکیباتی با مکانیسم عملکردی متفاوت می تواند در کنترل بروز مقاومت های دارویی موثر واقع گردد(۱۲-۸).

طی مطالعات انجام شده بر روی مشتق ۱ و ۲ دی متیل این ترکیبات که از دسته ترکیبات HPOs با نام تجاری دفیرپرون می باشد و به عنوان جاذب آهن خوراکی در حال حاضر در کلینیک مورد استفاده قرار می گیرد. مشخص گردید که این ترکیب توانایی بازداری همانند سازی ویروس HIV را تا ۹۰ درصد در غلظت ۱۰۰ میکرومولار دارد(۱۹). در حالی که هیچ سمیت سلولی (به وسیله MTT) در این غلظت از دارو برای سلول های هدف مشاهده نشده است و تنها کاهش در پرولیفراسیون سلولی (به وسیله سنجش H3 thymidine رویت شده است)(۲۹).

با توجه به نتایج حاصل از مطالعات قبلی این مطالعه که بر روی ترکیبات جاذب آهن با ساختارهای جدید صورت گرفته نیز نشانگر حضور ترکیباتی از جمله PhH،

ترکیبات جاذب آهن از دسته HPOs برروی ویروس های دیگری از جمله HSV بررسی شده است(۱۱، ۲۷، ۲۸). در این مطالعات نشان داده شده است که مشتقات 3-Hydroxy-4-pyridinones همانندسازی ویروس HIV به شکلی تقریباً مشابه آن چه در مورد HIV مشاهده می شود، می باشد(۱۱، ۲۷). عمدتاً ترکیبات جاذب آهن از جمله ترکیباتی هستند که امروزه در درمان بیماری هایی که توسط پاتوژن های درون سلولی به خصوص ویروس ها ایجاد می گردند مورد توجه قرار گرفته اند(۲۷).

با توجه به تاثیر این ترکیبات در کنترل تکثیر ویروس HIV و همچنین قابل استفاده بودن آن ها در کلینیک(۲۰) این مطالعه با هدف سنجش توانایی ضد ویروسی چندین مشتق جاذب آهن 3-Hydroxy-4-pyridinones با ساختاری کاملاً جدید برای بازداری تولید ویریون های HIV انجام گردید. نتایج حاصل از این مطالعه تأثیر ترکیبات جاذب آهن به عنوان بازدارنده های مناسب برای تولید ویریون های HIV را تصدیق می کند.

این ترکیبات از لحاظ فرمول شیمیایی دارای استخلاف های جدید می باشد که تغییرات ایجاد شده در ترکیبات می تواند در تأثیرگذاری بهتر آن ها مؤثر واقع شود.

همچنین چند ترکیب بررسی شده در این مطالعه که همگی از لحاظ ساختاری جدید بوده اند نسبت به سایر پریلینون های جاذب آهن که در مطالعات قبلی توسط دیگر محققان استفاده شده اند کارایی ضد ویروسی مناسب و سمیت سلولی پایینی داشته اند(۱۹). نتایج این مطالعه منجر به پیدا کردن تعدادی تر کیب جاذب آهن جدید شده است که می توانند کاندید مناسبی برای مطالعات دارو شناسی ضد HIV آینده باشند.

تأثیر ضد ویروسی ترکیبات از طریق دو روش بررسی میزان همانندسازی ویروسی و بررسی عفونت

بسیار مورد توجه هستند، ترکیبات جاذب آهنج که توانایی ضد ویروسی مناسب و سمیت پایینی دارند می‌توانند در کنار سایر داروهای ضد ویروسی ولی با مکانیسم عملکردی متفاوت در کنترل بیماری به خصوص در افراد مبتلایی که با ازدیاد آهن نیز مواجه هستند جهت درمان های ترکیبی مورد استفاده قرار گیرند.

در پایان می‌توان نتیجه گیری کرد که ترکیبات سمیت سلولی پایین تر و توانایی بالاتر برای بازداری تولید ویریون های HIV از این گروه می‌توانند کاندید مناسبی برای مطالعات بیشتر داروشناسی HIV باشند و با توجه به مکانیسم عملکردی متفاوت این ترکیبات که تأثیر آن ها بر مسیرهای سلولی می‌باشد، این ترکیبات می‌توانند دیدگاه جدیدی در نحوه درمان های ضد ویروسی HIV ایجاد نمایند. استفاده از این ترکیبات به طور همزمان در کنار سایر ترکیبات ضد HIV می‌تواند اثرات سینرژیسمی مناسبی در جهت افزایش تأثیر ضد ویروسی ایجاد نماید.

در نهایت می‌توان نتیجه گرفت که ترکیبات سمیت سلولی پایین تر و توانایی بالاتر برای بازداری تولید ویریون های HIV از این گروه می‌توانند کاندید مناسبی برای مطالعات بیشتر داروشناسی HIV باشند و با توجه به مکانیسم عملکردی متفاوت این ترکیبات که تأثیر بر مسیرهای سلولی می‌باشد، این ترکیبات می‌توانند دیدگاه جدیدی در نحوه درمان های ضد ویروسی HIV ایجاد نمایند. استفاده از این ترکیبات به طور همزمان در کنار سایر ترکیبات ضد HIV می‌تواند اثرات سینرژیسمی مناسبی در جهت افزایش تأثیر ضد ویروسی ایجاد نماید.

## سیاستگذاری

این مقاله حاصل بخشی از طرح پژوهشی مصوب انسستیتو پاستور ایران (طرح ۵۵۰) می‌باشد که در قالب پایان نامه کارشناسی ارشد میکروبیولوژی خانم آذر فرهنگ اصفهانی انجام یافته است.

ADBphE، DNB، PhHB، TsB و Adlb است که توانایی خوبی برای بازداری ویروس در غلظت های پایین نشان داده اند. به طوری که ترکیبات DNB و DNB با IC<sub>50</sub> معادل ۱۰ و ۱۲ قادر به مهار همانندسازی ویروس HIV بوده اند. همان طور که ذکر شد ترکیبات استفاده شده در این مطالعه با خارج از دسترس قرار دادن آهن برای ویروس مانع از تکثیر آن ها شده و روند همانند سازی ویروسی را مهار می‌کند و بدین ترتیب باعث کنترل بیماری می‌گردد.

از میان این ترکیبات، ترکیباتی همچون DNB، ABphE و pHHB از سایر ترکیبات قوی تر عمل کرده و توانایی ضد ویروسی بیشتری نشان داده اند اما دو ترکیب DNB و ABphE سمیت سلولی بالایی را نشان داده اند در حالی که ترکیب pH نسبت به چهار ترکیب ذکر شده سمیت کمتری داشته است. در مقابل ترکیباتی همچون ABDNB و هیچ گونه سمیتی نشان نداده اند که از بین این دو ترکیب، ABDNB اثر ضد ویروسی بیشتری را نیز نشان داده است. این ها اگرچه تأثیر ضد ویروسی بالایی نداشته اند ولیکن ویژگی عدم سمیت در این ترکیبات بسیار قابل توجه می‌باشد.

طی مطالعات انجام شده توسط دیگر پژوهشگران نشان داده شده است که ترکیب جاذب آهن دفروکسامین اثر افزاینده ملایم تا قوی (بسته به غلظت) با داروی دیدنوزین (بازدارنده نوکلئوزیدی رونوشت بردار معکوس HIV) برای مهار همانندسازی HIV داشته است (۲۷) این امر نشان می‌دهد که استفاده همزنان این ترکیبات به همراه سایر داروهای ضد HIV می‌تواند موجب افزایش تأثیر این دسته از ترکیبات شود به خصوص در مورد ترکیباتی که تأثیر ضد ویروسی خیلی بالایی را از خود نشان نداده اند واز جمله این ترکیبات می‌توانیم به ABDNB و ABphb اشاره کنیم که استفاده این ها در تحقیقات آینده کنار سایر داروهای ضد HIV می‌تواند تأثیرات سینرژیسمی را به همراه داشته باشد و با توجه به این که امروزه درمان های ترکیبی جهت کنترل بیماری

## References

1. Anglaret X. Global AIDS epidemic: From epidemiology to universal treatment. *Rev Med Interne* 2008; 29(3): S269-273.
2. UNAIDS. AIDS epidemic update. UNAIDS, Geneva, Switzerland. December 2007.
3. Sliciano JD, Kajdas J, Finzi D, Quinn TC, Chadwick K, Margolick JB, et al. Long-term follow-up studies confirm the stability of the latent reservoir for HIV-1 in resting CD4 T cells. *Nature Medicine Nat Med* 2003; 9(6): 727-728.
4. Grant RM, Hecht FM, Warmerdam M, Liu L, Liegler T, Petropoulos CJ, et al. Time trends in primary HIV-1 drug resistance among recently infected persons. *JAMA* 2002; 288(2): 181-188.
5. Emerman M, Malim MH. HIV-1 regulatory/accessory genes: keys to unraveling viral and host cell biology. *Science* 1998; 280(5371): 1880-1884.
6. Lau A, Swinbank KM, Ahmed PS, Taylor DL, Jackson SP, Smith GC, et al. Suppression of HIV-1 infection by a small molecule inhibitor of the ATM kinase. *Nat Cell Biol* 2005; 7(5): 493-500.
7. Baba M. Recent status of HIV-1 gene expression inhibitors. *Antiviral Res* 2006; 71(2-3): 301-306.
8. Debebe Z, Ammosova T, Jerebtsova M, Kurantsin-Mills J, Niu X, Charles Sh, et al. Iron chelators ICL670 and 311 inhibit HIV-1 transcription. *Virology* 2007; 367(2): 324-333.
9. van Asbeck BS, Georgiou NA, van der Bruggen T, Oudshoorn M, Nottet HS, Marx JJ. AntiHIV effect of iron chelators: different mechanisms involved. *J Clin Virol* 2001; 20(3): 141-147.
10. Georgiou NA, van der Bruggen T, Oudshoorn M, Hider RC, Marx JJ, van Asbeck BS. Human immunodeficiency virus type I replication inhibition by the bidentate iron chelators CP502 and CP511 is caused by proliferation inhibition and the onset of apoptosis. *Eur J Clin InVest* 2002; 32(Sup 1): 91-96.
11. Sappey C, Boelaert JR, Legrand-Poels S, Forceille C, Favier A, Piette J, et al. Iron chelation decreases NF-kappa B and HIV type 1 activation due to oxidative stress. *AIDS Res Hum Retro Viruses* 1995; 11(9): 1049-1061.
12. Hoque M, Hanuske-Abel HM, Palumbo P, Saxena D, D'Alliessi Gandolfi D, Park MH, et al. Inhibition of HIV-1 gene expression by Ciclopirox and Deferiprone, drugs that prevent hypusination of eukaryotic initiation factor 5A. *Retrovirology* 2009; 6: 90.
13. Rezaei A, Zabihollahi R, Salehi M, Moghim S, Tamizifar H, Yazdanpanahi N, et al. Designing a non-virulent HIV-1 strain: potential implications for vaccine and experimental research. *JRMS* 2007; 12(5): 227-234.
14. Zabihollahi R, Sadat SM, Vahabpour R, Aghasadeghi MR, Memarnejadian A, Ghazanfari T, et al. Development of single-cyclerepllicable human immunodeficiency virus 1 mutants. *Acta Virol* 2011; 55(1): 15-22.
15. Campbell EM, Perez O, Melar M, Hope TJ. Labeling HIV-1 virions with two fluorescent proteins allows identification of virions that have productively entered the target cell. *Virology* 2007; 360(2): 286-293.
16. Cavrois M, Neidleman J, Yonemoto W, Fenard D, Greene WC. HIV-1 virion fusion



- assay: uncoating not required and no effect of Nef on fusion. *Virology* 2004; 328(1): 36-44.
17. Svarovskia ES, Barr R, Zhang X, Pais GC, Marchand C, Pommier Y, et al. Azido-containing diketo acid derivatives inhibit human immunodeficiency virus type 1 integrase in vivo and influence the frequency of deletions at two-long-terminal-repeat-circle junctions. *J Virol* 2004; 78(7): 3210-3222.
  18. Hider, Liu RC, Piyamongkol ZD, Hider RC, Liu ZD, Piyamongkol S. The design and properties of 3-hydroxypyridin-4-one iron chelators with high pFe(3+) values. *Transfus Sci* 2000; 23(3): 201-209.
  19. Barral K, Balzarini J, Neyts J, De Clercq E, Hider RC, Camplo M. Synthesis and Antiviral Evaluation of Cyclic and Acyclic 2-Methyl-3-hydroxy- 4-pyridinoneNucleoside Derivatives. *J Med Chem* 2006; 49(1): 43-50.
  20. Georgiou NA, van der Bruggen T, Oudshoorn M, Nottet HS, Marx JJ, van Asbeck BS. Inhibition of human immunodeficiency virus type 1 replication in human mononuclear blood cells by the iron chelators deferoxamine, deferiprone, and bleomycin. *J Infect Dis* 2000; 181(2): 484-490.
  21. Morgan JR, LeDoux JM, Snow RG, Tompkins RG, Yarmush ML. Retrovirus infection: effect of time and target cell number. *J Virol* 1995; 69(11): 6994-7000.
  22. Zabihollahi R, Vahabpour R, Hartoonian C, Sedaghati B, Sadat SM, Soleymani M, et al. Evaluation of the in vitro antiretroviral potential of some Biginelli-type pyrimidines. *Acta Virol* 2012; 56(1): 11-18.
  23. Zhao Q, Ma L, Jiang S, Lu H, Liu S, He Y, et al. Identification of N-phenyl-N'-(2,2,6,6-tetramethyl-piperidin-4-yl)-oxalamides as a new class of HIV-1 entry inhibitors that prevent gp120 binding to CD4. *Virology* 2005; 339(2): 213-225.
  24. Wang RR, Gub Q, Wang YH, Zhang XM, Yang LM, Zhou J, et al. Anti-HIV-1 activities of compounds isolated from the medicinal plant *Rhus chinensis*. *J Ethnopharmacology* 2008; 117(2): 249-256.
  25. Traore HN, Meyer D. The effect of iron overload on in vitro HIV-1 infection. *J Clin Virol* 2004; 31(Suppl 1): S92-98.
  26. Liu ZD, Hider RC. Design of Clinically Useful Iron- (III)-Selective Chelators. *Med Res Rev* 2002; 22(1): 26-64.
  27. Barral K, Robert C, Balzarini J, Neyts J, Clercq ED, Camplo M. synthesis and Antiviral Evaluation of 3-Hydroxy-2-methylpyridin-4-one Dideoxynucleoside Derivatives. *Bioorganic & Medicinal Chemistry Letters* 2003; 13(24): 4371-4374.
  28. Williams A, Meyer D. Desferrioxamine as immunomodulatory agent during microorganism infection. *Curr Pharm Des* 2009; 15(11): 1261-1268.
  29. Georgiou NA, van der Bruggen T, Oudshoorn M, Nottet HH, Marx JJ, van Asbeck BS. Combining iron chelators with the nucleoside analogue didanosine in anti-HIV therapy. *Transfus Sci* 2000; 23(3): 249-250.